

УДК 546.881

©1993

ГИДРАТИРОВАННЫЕ СОЕДИНЕНИЯ ВАНАДИЯ

В.Бондаренко, В.Волков, А.Плешановас

Приведены методы синтеза, данные о составе, структуре и физических свойствах гидратированных поливанадатов общей формулы $M_xV_{12}O_{31-\delta} \cdot nH_2O$, где M — водород, ионы щелочных и щелочноземельных элементов. Рассмотрены также некоторые соединения с частичным замещением ионов ванадия на молибден.

Из обширного класса оксидов переходных металлов определенный интерес как в познавательном, так и в практическом плане представляют собой кислородсодержащие ванадиевые соединения. Наличие в атоме ванадия незаполненной 3d-электронной оболочки обуславливает существование широкого ряда оксидов ванадия и различных оксидных соединений, которые можно условно разделить на четыре группы. Это система ванадий-кислород, фазы внедрения и замещения, оксидные ванадиевые стекла и гидратированные соединения. Если свойства первых трех упомянутых групп к настоящему времени в основном достаточно хорошо изучены [1–5], то внимание исследователей к гидратам ванадия, как, впрочем, и к другим гидратированным соединениям (см., например, [6]), постоянно возрастает. Результаты исследования строения, состава и ионообменных свойств гидратированного пентаоксида ванадия обобщены в [7]. Однако, на наш взгляд, недостаточно широко изучены кинетические явления в этих веществах, хотя ксерогели оксида ванадия (V) уже находят применение в качестве элементов интегральных схем [8], переключающих элементов [9], терморезистивных [10], фото- и электрохромных материалов [11].

Настоящая работа посвящена обобщению литературных данных в основном о физических свойствах ксерогелей типа $M_xV_{12}O_{31-\delta} \cdot nH_2O$ и содержит как результаты других исследователей, так и работы авторов в этой области.

Получение, состав и структура ксерогелей пентаоксида ванадия

Впервые гидратированный оксид ванадия (V) был получен Дюльбергом [12] путем подкисления раствора Na_3VO_4 при помощи сильных минеральных кислот. Мюллер [13] получал $V_2O_5 \cdot nH_2O$ выливанием расплавленного V_2O_5 в воду и отделением непрореагировавших частиц фильтрованием. Существует метод получения, основанный на взаимодействии пентаоксида ванадия с раствором перекиси водорода [12,14,15], а также способы, основанные на гидротермальной методике [16].

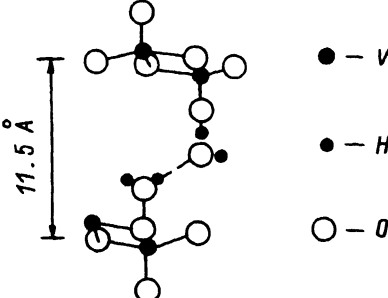


Рис. 1. Структурная модель ксерогеля $V_2O_5 \cdot 1.6H_2O$ [22].

Высушенные на воздухе золи гидратированного V_2O_5 при обычных условиях отвечают составам $V_2O_5 \cdot 1.8H_2O$ [17], $V_2O_5 \cdot 1.6H_2O$, представляющим собой почти рентгеноаморфную фазу, состоящую из сплетенных полимерных цепочек [19–21]. Рентгеновские исследования гелей оксида ванадия (V) показывают, что они имеют квазиодномерную слоистую структуру, при этом слои V_2O_5 образованы спутанными волокнами и соединены молекулами воды [19]. Величина межслоевого расстояния зависит от содержания воды и для $V_2O_5 \cdot 1.6H_2O$ равна $\sim 11.57 \text{ \AA}$ (см. рис. 1 [22]). При нагревании гель происходит потеря воды в три этапа. При температурах 298–398 К обратимо удаляется слабосвязанная вода с образованием $V_2O_5 \cdot 0.5H_2O$ [19]. При этом межслоевое расстояние уменьшается до 8.75 \AA . Структура самих волокон при этом не изменяется. При дальнейшем нагревании до 483–543 К удаляется более сильно связанная вода с образованием $V_2O_5 \cdot 0.1H_2O$. Выше 573 К удаляется химически связанная вода и происходит кристаллизация пентаоксида ванадия. Результаты исследования ионообменных свойств и состояния водородно-кислородных групп методом парамагнитного резонанса $V_2O_5 \cdot 1.8H_2O$ позволили сделать вывод о том, что это соединение представляет собой поливанадиевую кислоту состава $(H_3O)_2V_{12}O_{31} \cdot nH_2O$ [7]. В структуру гелей пентаоксида ванадия легко интеркалируются ионы различных металлов [3,7], а также молекулы органических комплексов [23].

Физические свойства

Впервые об обнаружении полупроводниковых свойств гелей пентаоксида ванадия сообщалось в [24], где исследовались тонкие слои $V_2O_5 \cdot nH_2O$, полученные по методу Мюллера [3]. На рис. 2 [24] показана температурная зависимость проводимости ксерогеля толщиной 600 \AA , для которого отношение

$$C = C_{V^{4+}} / (C_{V^{4+}} + C_{V^{5+}})$$

($C_{V^{4+}}$ и $C_{V^{5+}}$ — концентрации V^{4+} и V^{5+} ионов в пленке), определенное по результатам химического анализа, равно 0.06. Как и в своей более поздней работе [25], авторы объясняют активационный рост проводимости с температурой в рамках теории поляронов малого радиуса. Тогда для проводимости можно записать следующее выражение [24]:

$$\sigma T = A \exp \{-W_0(1 - Q/T)/kT\}, \quad (1)$$

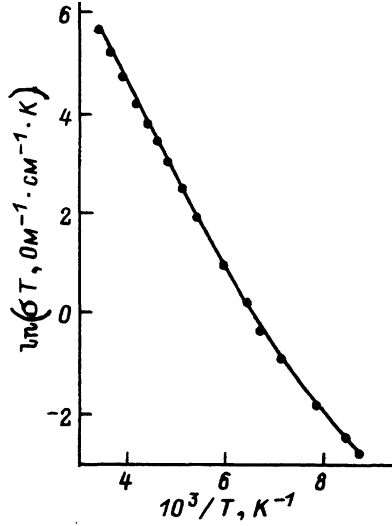


Рис. 2. Температурная зависимость проводимости тонкого слоя ксерогеля пентаоксида ванадия ($C = 0.06$) [24].

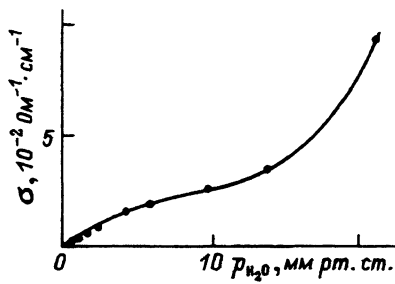


Рис. 3. Зависимость проводимости поливанадиевой кислоты от парциального давления паров воды [26].

где A , W_0 и Q — постоянные величины. При $A = 6.8 \cdot 10^5 \text{ К} \cdot \Omega^{-1} \cdot \text{см}^{-1}$, $W_0 = 0.22 \text{ эВ}$ и $Q = 30.4 \text{ К}$ экспериментальные значения $\sigma = f(T)$ хорошо описываются выражением (1). Отмечено, что с увеличением C (ростом концентрации четырехвалентного ванадия) возрастает и проводимость пленок ксерогелей. При этом наблюдается существенная анизотропия σ . Так, при измерении проводимости вдоль слоев V-O $\sigma \sim 0.44 \text{ Ом}^{-1} \cdot \text{см}^{-1}$, а поперек $\sigma \sim 1.3 \cdot 10^{-5} \text{ Ом}^{-1} \cdot \text{см}^{-1}$ при $C = 0.097$ [25].

Исследования диффузионных процессов в поливанадиевой кислоте [26] показали, что ее проводимость складывается из электронной и ионной составляющих. Последняя осуществляется в результате диффузии протонов и зависит от содержания воды в ксерогеле, что иллюстрируется рис. 3 [26], где показана зависимость проводимости от парциального давления паров воды. Так, для $\text{V}_2\text{O}_5 \cdot 1.6\text{H}_2\text{O}$ при 300 К ионная составляющая проводимости $\sigma_i = 2 \cdot 10^{-2} \text{ Ом}^{-1} \cdot \text{см}^{-1}$, а для $\text{V}_2\text{O}_5 \cdot 0.5\text{H}_2\text{O}$ при той же температуре $\sigma_i = 5 \cdot 10^{-4} \text{ Ом}^{-1} \cdot \text{см}^{-1}$. Электронная составляющая $\sigma_e = 1 \text{ Ом}^{-1} \cdot \text{см}^{-1}$.

Интересные результаты получены при исследовании электропроводности прессованных таблеток гидратированной поливанадиевой кислоты в атмосфере паров воды [27]. На рис. 4 показана температурная зависимость удельного сопротивления таблеток $(\text{H}_3\text{O})_2\text{V}_{12}\text{O}_{30.7} \cdot 6.6\text{H}_2\text{O}$ в атмосфере паров воды ($p_{\text{H}_2\text{O}} = 32 \cdot 10^2 \text{ Па}$) на переменном токе [27]. При температурах 293–313 (при нагреве) и 323–353 К (при охлаждении) на зависимостях $\rho(T)$ наблюдаются участки с положительным температурным коэффициентом сопротивления, равным $\sim 5 \text{ Ом} \cdot \text{м}/\text{град}$. Это, вероятно, можно связать с частичной дегидратацией образцов, сопровождающейся изменением структурных характеристик, а также уменьшением ионной составляющей проводимости при удалении воды из ксерогеля.

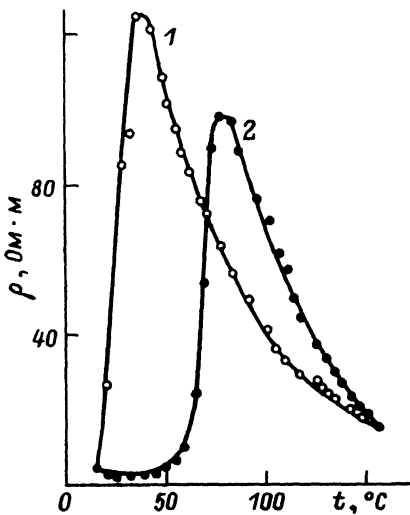


Рис. 4. Температурная зависимость удельного сопротивления $(\text{H}_3\text{O})_2\text{V}_{12}\text{O}_{30.7} \cdot 6.6\text{H}_2\text{O}$ при $p_{\text{H}_2\text{O}} = 32 \cdot 10^2 \text{ Па}$ [27].

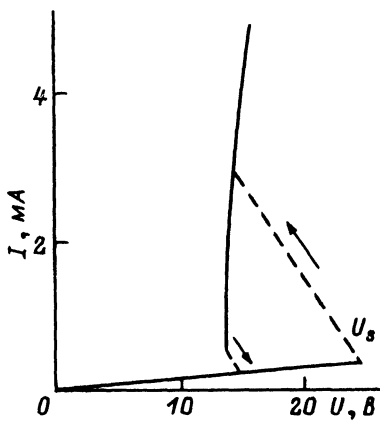


Рис. 5. Типичная вольтамперная характеристика ксерогеля пентаксида ванадия при 293 К [9].

Как и в большинстве полупроводниковых материалов на основе оксидных соединений ванадия [1, 28–30], в ксерогелях поливанадиевой кислоты наблюдается явление переключения [9]. На рис. 5 показана вольтамперная характеристика тонкопленочного ксерогеля, полученного методом Мюллера, после предварительной «формовки» образца путем приложения напряжения величиной до 400 В. В образцах, не подвергавшихся «формовке», явление переключения не наблюдается. Исследования температурной зависимости напряжения переключения (U_s , на рис. 5) показали, что с ростом температуры U_s уменьшается, а при температурах ~ 370 К явление переключения не наблюдается. Этот факт по аналогии с V_2O_5 и образцами системы $\text{V}_2\text{O}_5 - \text{P}_2\text{O}_5$ [28, 29] позволяет говорить об образовании в результате «формовки» фазы диоксида ванадия, ответственно го в конечном итоге за переключение.

Диэлектрическая проницаемость $\text{V}_2\text{O}_5 \cdot 1.6\text{H}_2\text{O}$ исследовалась в [31]. Величина ϵ изменяется от 10 до 10^3 в зависимости от частоты и температуры.

Результаты оптических исследований описаны в [32], где изучались спектры поглощения гидратированной поливанадиевой кислоты в области энергий фотонов 0.5–4.0 эВ для образцов с различной концентрацией ионов четырехвалентного ванадия ($0.005 \leq C \leq 0.097$). В качестве примера на рис. 6 [32] показан спектр поглощения слоя с $C = 0.097$. Установлено, что не зависимо от величины C ширина запрещенной зоны, установленная из оптических измерений, ~ 2.25 эВ. Из полученных результатов авторы установили величину резонансного интеграла (интеграла перекрытия волновых функций ванадия) $J = 0.015$ эВ.

В [33] приведены результаты исследований токовых флуктуаций в тонких слоях ксерогелей пентаксида ванадия в диапазоне частот 20 Гц–

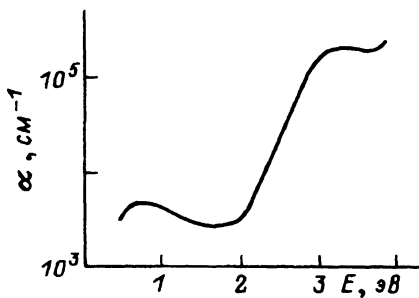


Рис. 6. Спектр поглощения поливанадиевой кислоты ($C = 0.097$) [32].

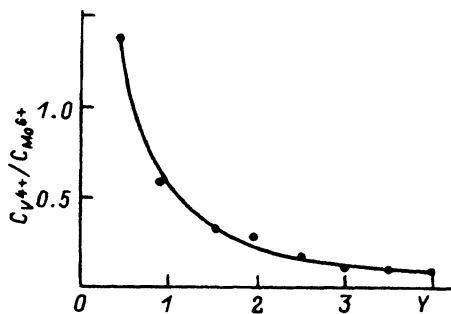


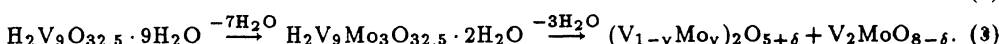
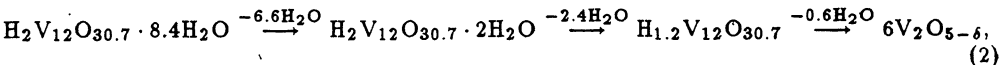
Рис. 7. Зависимость атомного отношения V^{4+}/Mo^{6+} от состава $H_2V_{12-y}Mo_yO_z \cdot nH_2O$ [27].

10 кГц. Обнаружено существование «фликкер-шума» (см., например, [34]), мощность которого пропорциональна $f^{-1.1}$. Из результатов исследований получена величина концентрации носителей заряда $10^{17} - 6 \cdot 10^{10} \text{ см}^{-3}$, что на два порядка превышает концентрацию носителей в V_2O_5 , из чего авторы делают вывод, что в процессе гидратации пентаоксида ванадия возрастает число ионов V^{4+} , участвующих в процессе переноса заряда при протекании тока.

Гидратированные поливанадиевомолибденовая кислота и поливанадаты

Возможности получения на основе пентаоксида ванадия большого количества фаз внедрения и замещения (см., например, [2, 3]) обусловливают существование данных соединений в гидратированном состоянии [7]. В настоящем разделе рассмотрены физические свойства поливанадиевомолибденовой кислоты и гидратированных поливанадатов щелочных и щелочноземельных металлов.

Впервые синтез и основные свойства поливанадиевомолибденовой кислоты описаны в [27]. Основой синтеза служил метод взаимодействия оксида ванадия (V), молибденовой кислоты и раствора пероксида водорода, т.е. использовалась несколько модифицированная методика Дюльберга [12]. Результаты инфракрасной спектроскопии, химического и термического анализов высущенных при нормальных условиях образцов позволили описать полученное вещество формулой $H_2V_{12-y}Mo_yO_{31 \pm \delta} \cdot nH_2O$, где $0 \leq y \leq 3$, $8.4 \leq n \leq 9.0$, и в дальнейшем рассматривать его с позиции твердого раствора замещения ионов ванадия на молибден в поливанадиевой кислоте. При $y > 3$ в формуле $H_2V_{12-y}Mo_yO_{31 \pm \delta} \cdot nH_2O$ образцы содержат примесь гидратированной молибденовой кислоты. Результаты термического анализа свидетельствуют, что дегидратация образцов происходит по следующим схемам:



При удалении последних трех молекул воды, согласно (3), происходит кристаллизация образцов системы V_2O_5 – MoO_3 [35] при температурах 623, 648, 663 и 673 К для образцов с $y = 0, 1, 2$ и 3 соответственно. Рентгенографические исследования показали, что структура полученных соединений аналогична слоистой структуре поливанадиевой кислоты, причем с ростом содержания молибдена уменьшается величина межслоевого расстояния c . В таблице приведены частоты основных полос ИК-спектров и межслоевое расстояние c для $H_2V_{12-y}Mo_yO_{31\pm\delta}\cdot nH_2O$ [36]. Видно, что с увеличением y уменьшается параметр c при одновременном росте содержания воды в ксерогеле.

На рис. 7 показана зависимость отношения концентрации ионов V^{4+} и Mo^{6+} от степени замещения ванадия на молибден [27]. Исследования ксерогелей методом электронного парамагнитного резонанса также показали уменьшение концентрации ионов V^{4+} с ростом y [37]. В [38] из результатов изучения рентгеновских фотоэлектронных спектров поливанадиевомолибденовой кислоты показано, что концентрация ионов четырехвалентного ванадия в зависимости от состава изменяется по закону

$$C_{V^{4+}}/(C_{V^{4+}} + C_{V^{5+}}) = 0.109 \exp(-0.217y).$$

Если в поливанадиевомолибденовой кислоте, как и в поливанадиевой [24], проводимость осуществляется путем перескоков электронов между разновалентными ионами ванадия, то с увеличением степени замещения ванадия молибденом должна понижаться проводимость ксерогелей $H_2V_{12-y}Mo_yO_{31\pm\delta}\cdot nH_2O$, так как при этом уменьшается концентрация ионов V^{4+} . Результаты исследования σ и ε в зависимости от состава, проведенные в [39], подтверждают это (рис. 8). Результаты исследования температурной зависимости электропроводности показаны на рис. 9 [36], где σ измеряли вдоль слоев V–O–V ксерогеля. На зависимости $\ln \sigma = f(10^3/T)$ можно выделить два участка с энергиями активации проводимости $\Delta E_1 = 0.32 \pm 0.05$ эВ при $T < 351$ К и $\Delta E_2 = 1.24 \pm 0.05$ эВ при $T > 351$ К. Исследования ИК-спектров показали смещение ряда полос на $20\text{--}25\text{ cm}^{-1}$ в сторону меньших частот при повышении температуры от комнатной до 423 К, что свидетельствует об увеличении расстояний V–O и V–V, что должно приводить к росту энергии активации проводимости в высокотемпературном состоянии, что и наблюдается в эксперименте ($\Delta E_2 > \Delta E_1$).

Результаты исследования гидратированных поливанадатов общей формулы $M_2^I(M^{II})V_{12}O_{30.7}\cdot nH_2O$, где $M^I = Li, Na, K, M^{II} = Mg, Ca, Sr, Ba$, приведены в [40, 41]. По данным термического анализа, величина n в формуле соединений составляла 9.4, 7.4, 6.0, 12.1, 11.0, 9.9 и 8.2 соответственно.

Частоты основных полос в ИК-спектрах и межслоевые расстояния для $H_2V_{12-y}MoO_{31\pm\delta}\cdot nH_2O$ [36].

Химическая формула	$\nu, \text{ см}^{-1}$	$c \pm 0.05 \text{ \AA}$
$H_2V_{12}O_{30.7}\cdot 8.4H_2O$	1010, 921, 770, 520	11.57
$H_2V_{11}MoO_{31.2}\cdot 8.4H_2O$	1005, 920, 770, 540	11.24
$H_2V_{10}Mo_2O_{31.7}\cdot 8.6H_2O$	1010, 915, 760, 540	11.16
$H_2V_9Mo_3O_{32.3}\cdot 9.0H_2O$	1000, 905, 760, 550	10.97

но для $M = Li, Na, K, Mg, Ca, Sr$ и Ba . На рис. 9 [41] показаны температурные зависимости электропроводности, которые для поливанадатов $M_2V_{12}O_{30.7} \cdot nH_2O$ ($M = li, Na, K$) изменяются в пределах ± 0.1 и для $MV_{12}O_{30.7} \cdot nH_2O$ ($M = Mg, Ca, Sr, Ba$) — в пределах ± 0.2 десятичного порядка. На зависимостях $lg \sigma = f(10^3/T)$ можно выделить два линейных участка, соответствующих низкотемпературному состоянию с энергиами активации проводимости $\Delta E_1 = 0.52$ и $\Delta E_2 = 0.63$ эВ для поливанадатов щелочных и щелочноземельных металлов соответственно и высокотемпературному с $\Delta E = 1.15$ эВ, одинаковой для обоих групп веществ. Исследования ИК-спектров, как и в случае поливанадиевомолибденовой кислоты, показали смещение ряда полос в сторону меньших частот при повышении температуры, что свидетельствует об увеличении расстояний $V-V$, в результате чего и повышается энергия активации проводимости в высокотемпературном состоянии. Точка пересечения экстраполированных линейных участков зависимостей $ln \sigma = f(10^3/T)$ (332 К для поливанадатов щелочных и 351 К для щелочноземельных металлов; см.рис. 9 [41]), по-видимому, характеризует температуру фазового превращения ксерогеля, связанного с его частичной дегидратацией. Отметим, что подобный ход температурной зависимости проводимости наблюдается и у поливанадатомолибдатов рубидия и цезия [42].

Заключение

Таким образом, ксерогели на основе структуры поливанадиевой кислоты представляют интерес как материалы, занимающие промежуточное положение между безводными фазами и растворами. Они обладают полупроводниковыми свойствами, которые можно изменять в широких пределах, что обуславливает возможности их применения на практике [8–11]. Более того, на основе ксерогеля пентаоксида ванадия получены первые молекулярные бронзы, представляющие собой соединения включения молекул органических соединений в структуру гидратированного

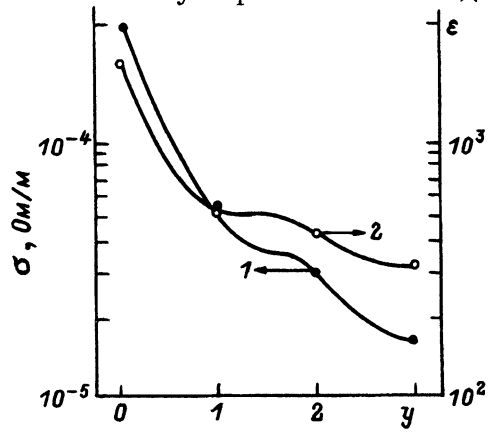


Рис. 8. Зависимость удельной электропроводности (1) и диэлектрической проницаемости (2) от степени замещения ванадия на молибден [39].

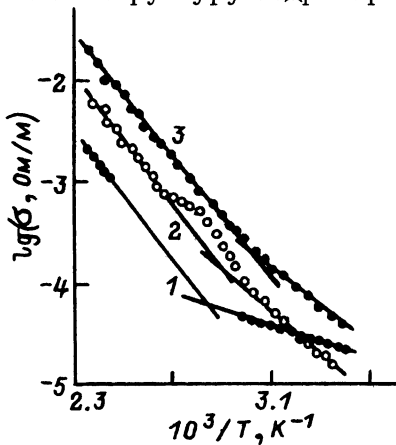


Рис. 9. Усредненные зависимости $lg \sigma$ от обратной температуры для гидратированных поливанадатов.

- 1 — $H_2V_{12-y}Mo_yO_{31+\delta} \cdot nH_2O$ [36],
- 2 — $MV_{12}O_{30.7} \cdot nH_2O$ ($M = Mg, Ca, Sr, Ba$) [41],
- 3 — $M_2V_{12}O_{30.7} \cdot nH_2O$ ($M = Li, Na, K$) [41].

оксида ванадия [43]. Исследования данного класса соединений еще только начинаются и в дальнейшем несомненно будут продолжены и расширены.

Список литературы

- [1] Бугаев А.А., Захарчена Б.П., Чудновский Ф.А. Фазовый переход металл-полупроводник и его применение. Л.: Наука, 1979. 189 с.
- [2] Фотиев А.А., Волков В.Л., Капусткин В.К. Оксидные ванадиевые бронзы. М.: Наука, 1978. 176 с.
- [3] Волков В.Л. Фазы внедрения на основе оксидов ванадия. Свердловск, УНЦ АН СССР, 1987, 179 с.
- [4] Пастухов Э.А., Мусихин В.Н., Ватолин Н.А. Электрические свойства нестехиометрических оксидных расплавов. Свердловск, УНЦ АН СССР, 1984. 112 с.
- [5] Черненко И.М. // Автореф. докт. дис. Киев, 1984. 43 с.
- [6] Glasses and ceramics from gels. Proc. 5th Int. Workshop on Glasses and Ceramics from Gels. Rio de Janeiro, Brasil, August 6–10, 1989 // J. Non-Cryst. Solids. 1990. V. 112. N 1. P. 1–492.
- [7] Ильинцев Р.Н., Ивакин А.А., Клещев Д.Г., Денисова Т.А., Бурмистров В.А. Гидратированные оксиды элементов IV и V групп. М.: Наука, 1986. 160 с.
- [8] Коидзумэ Мицуэ, Кикава Синьити. // Кагаку Кемистри. 1984. Т. 39. № 6. С. 418–419.
- [9] Bullot J., Gallais O., Gauthier M., Livage J. // Threshold switching in V_2O_5 layers deposited from gels // Phys. Status Solidi. 1982. V. A71. N 1. P. K1–K4.
- [10] Волков В.Л., Захарова Г.С., Ивакин А.А., Коленко И.П., Коренский В.И., Скобелева В.Д., Харчук В.Г. // А.с. 1098991 СССР. Опубл. в Б. И. 1984. № 3.
- [11] Morineau R., Chemseddine A., Livage J. // Dep. 24.05.83. N 8208934. Publ. 25.11.83.
- [12] Düllberg P. // Zs. Phys. Chem. 1903. Bd 45. N 2. S. 129–181.
- [13] Müller R. // Zs. Chem. Industr. der Kolloide. 1911. Bd 8. N 2. S. 302–303.
- [14] Jahr K.F., Fuchs J., Preuss F. // Chem. Ber. 1963. Bd 96. N 3. S. 556–559.
- [15] Chauvean F. // Bull. Soc. Chim. France. 1960. V. 5. N 4. P. 810–818.
- [16] Masumi Ushio. // Nippon Kagaku Kaishi. 1978. N 9. P. 1232–1236.
- [17] Плетнев Р.Н., Ивакин А.А., Горшков В.В., Чирков А.К. // ДАН СССР. 1975. Т. 224. № 1. С. 106–109.
- [18] Aldebert P., Baffier N., Gharbi N., Livage J. // Mat. Res. Bull. 1981. V. 16. № 6. P. 669–676.
- [19] Gharbi N., R'Kha C., Ballutand D., Michaud M., Livage J., Audiere J.P., Schiffmacher G. // J.Non-Cryst. Solids. 1981. V. 46. N 3. P. 247–257.
- [20] Livage J., Gharbi N., Leroy M.C., Michaud M. // Mat. Res. Bull. 1978. V. 13. N 11. P. 1117–1124.
- [21] Tougne P., Legrand A., Sanchez C., Livage J. // J.Phys. Chem. Solids. 1981. V. 42. N 2. P. 101–107.
- [22] Vanderborre M.T., Prost R., Huard E., Livage J. // Mat. Res. Bull. 1983. V. 18. N 9. P. 1113–1142.
- [23] Aldebert P., Baffier N., Legendre J.-J., Livage J. // Rev. Chim. Mineral. 1982. V. 19. N 4–5. P. 485–495.
- [24] Bullot J., Gallais O., Gauthier M., Livage J. // Appl. Phys. Lett. 1980. V. 36. N 12. P. 986–988.
- [25] Bullot J., Cordier P., Gallais O., Gauthier M. // J.Non-Cryst. Solids. 1984. V. 68. N 1. P. 123–134.
- [26] Barboux P., Baffier N., Morineau R., Livage J. // Solid State Lonics. 1983. V. 9–10. N 2. P. 1073–1080.
- [27] Волков В.Л., Захарова Г.С., Ивакин А.А. // ЖНХ. 1985. Т. 30. В. 3. С. 642–645.
- [28] Огрик Ю.Ф., Кунькова З.Э., Абдуллаев А.А. // Микроэлектроника. 1975. Т. 2. В. 6. С. 559–561.
- [29] Черненко И.М., Гаврилюк В.И., Тонкомшур А.С. // ЖТФ. 1979. Т. 49. № 10. С. 2288–2289.
- [30] Барейкене Р.М., Бондаренко В.М., Волков В.Л. // Изв. АН СССР. Неорган. материалы. 1991. Т. 27. № 2. С. 429–431.
- [31] Badot J.C., Pourrier-Lamer A., Baffier N. // J.Phys. (Fr). 1985. V. 46. N 12. P. 2107–2115.
- [32] Bullot J., Cordier P., Gallais O., Gauthier M., Babonneau F. // J.Non-Cryst. Solids. 1984. V. 68. N 1. P. 135–146.
- [33] Kiss L.B., Bali K., Szörenyi T., Hevesi J. // Solid State Commun. 1986. V. 58. N 9. P. 609–611.
- [34] Коган Ш.М. // УФН. 1985. Т. 145. N 2. С. 285–328.

- [35] Волков В.Л., Тынкачева Т.Ш., Фотиев А.А., Ткаченко Е.В. // ЖНХ. 1972. Т. 17. № 10. С. 2803–2805.
- [36] Волков В.Л., Бондаренко В.М., Захарова Г.С., Барейкене Р.М., Ивакин А.А. // Изв. АН СССР. Неорган. материалы. 1987. Т. 23. № 1. С. 139–141.
- [37] Волков В.Л., Золотухина Л.В., Палкин А.П., Захарова Г.С. // Изв. АН СССР. Неорган. материалы. 1990ю Т. 26. № 9. С. 1893–1896.
- [38] Бондаренко В.М., Волков В.Л., Захарова Г.С., Качюлис С., Латишена А.А., Плещановас А. // Лит. физ. сб. 1992. Т. 32. № 1. С. 66–70.
- [39] Барейкене Р.М., Бондаренко В.М., Волков В.Л., Захарова Г.С. // Изв. АН СССР. Неорган. материалы. 1990. Т. 26. № 1. С. 222–223.
- [40] Волков В.Л., Захарова Г.С., Зубков В.Г., Ивакин А.А. // ЖНХ. 1986. Т. 31. № 2. С. 378–382.
- [41] Волков В.Л., Бондаренко В.М., Захарова Г.С., Барейкене Р.М., Гребенщикова Н.Е., Перелляева Л.А. // Изв. АН СССР. Неорган. материалы. 1987. Т. 23. № 1. С. 135–138.
- [42] Захарова Г.С., Волков В.Л. // ЖНХ. 1992. Т. 37. № 6. С. 1245–1249.
- [43] Masbal H., Tinet D., Crespin M., Erre R., Setton R., Van Damme H. // J.Chem.Soc. Chem. Commun. 1985. N 4. P. 935–936.

Институт физики полупроводников
Бильнюс

Институт химии твердого тела УрО РАН
Екатеринбург

Поступило в Редакцию
5 июля 1993 г.